

CONTRIBUIÇÃO PARA O CONHECIMENTO DAS DIATOMACEAS DA REGIÃO DE CANANÉIA

(Recebido em 8/11/60)

*Clóvis Teixeira **
&
*Miryam B. Kutner ***

INTRODUÇÃO

Este trabalho tem como finalidade, completar o levantamento dos principais gêneros e espécies constituintes da flora de diatomáceas, que ocorre na região de Cananéia e suas adjacências, embora se levem em consideração outras regiões da costa brasileira na parte referente à distribuição geográfica.

Nesta publicação serão mencionadas com algum detalhe, apenas as espécies que constituem ocorrência nova, ou espécies que apresentem algum interesse relativo à distribuição geográfica ou caracterização de massas d'água.

A região de Cananéia, pelos diferentes tipos de ambiente que apresenta é de grande interesse para estudos oceanográficos ligados aos seres vivos.

Para êstes estudos torna-se necessário antes de mais nada um levantamento sistemático que além da sua finalidade específica, se nos apresenta como um meio de importância básica, para estudos ecológicos e fisiológicos.

A região estudada acha-se compreendida entre as Lats. 24°43'-25°9,5'S e Longs. 47°33'-48°1'W, na qual se incluem massas d'água de naturezas bem diversas, sendo habitada por conseguinte por diferentes tipos de comunidades fitoplanctônicas.

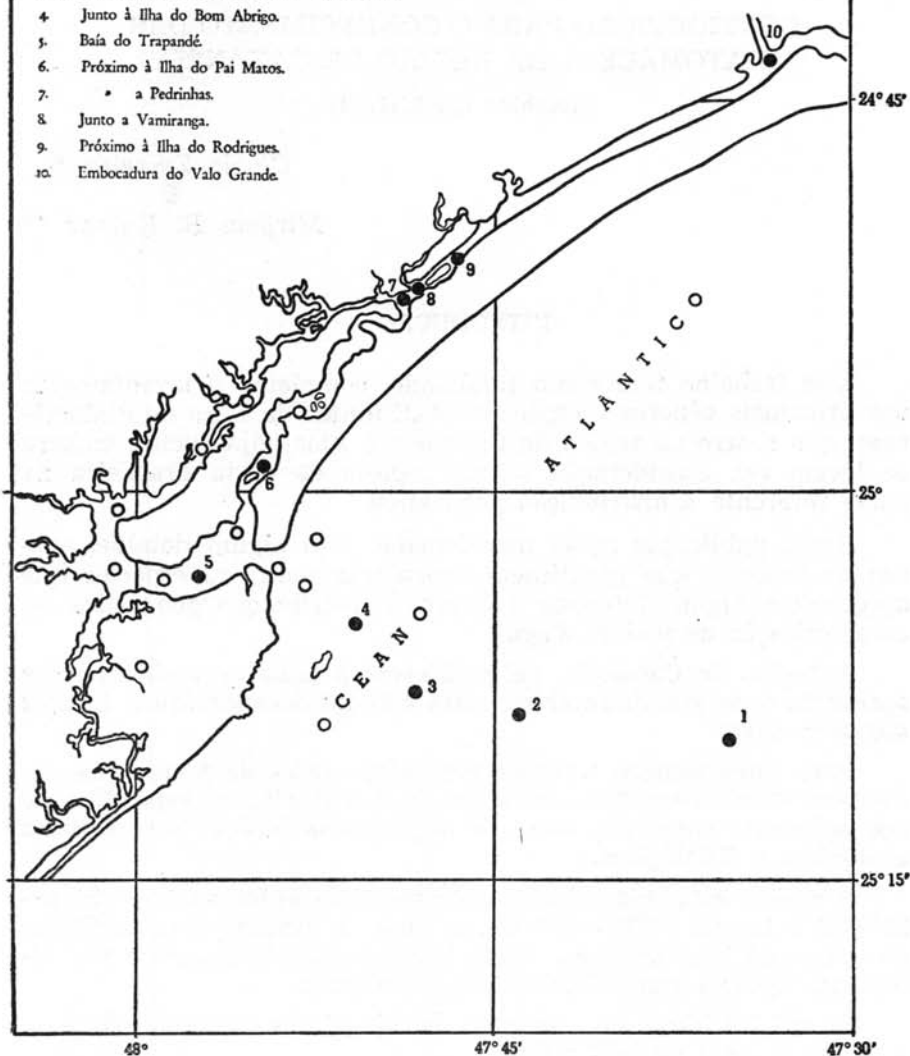
As coletas foram efetuadas em vários pontos diferentes de toda a região (Mapa) de 1957 a 1958.

Omitimos a descrição da técnica empregada por ter sido a mesma já descrita em trabalho anterior (Andrade & Teixeira, 1957).

* — ** Bolsistas do Conselho Nacional de Pesquisas, Rio de Janeiro.
Publ. n.º 151 do Inst. Ocean. da USP.

Estações onde as amostras foram coletadas

- 1, 2, 3 Locais de coletas periódicas do barco «Emilia».
- 4 Junto à Ilha do Bom Abrigo.
- 5 Baía do Trapandé.
- 6 Próximo à Ilha do Pai Matos.
- 7 * a Pedrinhas.
- 8 Junto a Vamiranga.
- 9 Próximo à Ilha do Rodrigues.
- 10 Embocadura do Valo Grande.



Mapa da região estudada, mostrando as estações 1 a 10, onde periodicamente foram colhidas amostras de plâncton; os pontos O, assinalam as regiões onde foram efetuadas algumas coletas para um melhor levantamento sistemático da região.

CONSIDERAÇÕES GERAIS

A distribuição e a natureza do fitoplâncton são condicionadas principalmente pelos fatores físicos: salinidade, temperatura e luz. A luz é um fator predominantemente importante em relação à distribuição vertical. Os macro e micro-nutrientes, fatores bioquímicos, etc., embora tenham papel fundamental em relação à natureza do fitoplâncton, apresentam um maior significado quando considerados em relação à concentração e velocidade de reprodução do mesmo.

Quanto às águas costeiras, a salinidade é o fator de maior importância na distribuição das algas planctônicas, principalmente particularizando-se para a região de nossos estudos, onde encontramos águas com salinidade desde 34,90‰, até as águas lagunares com salinidade por volta de 1,00‰.

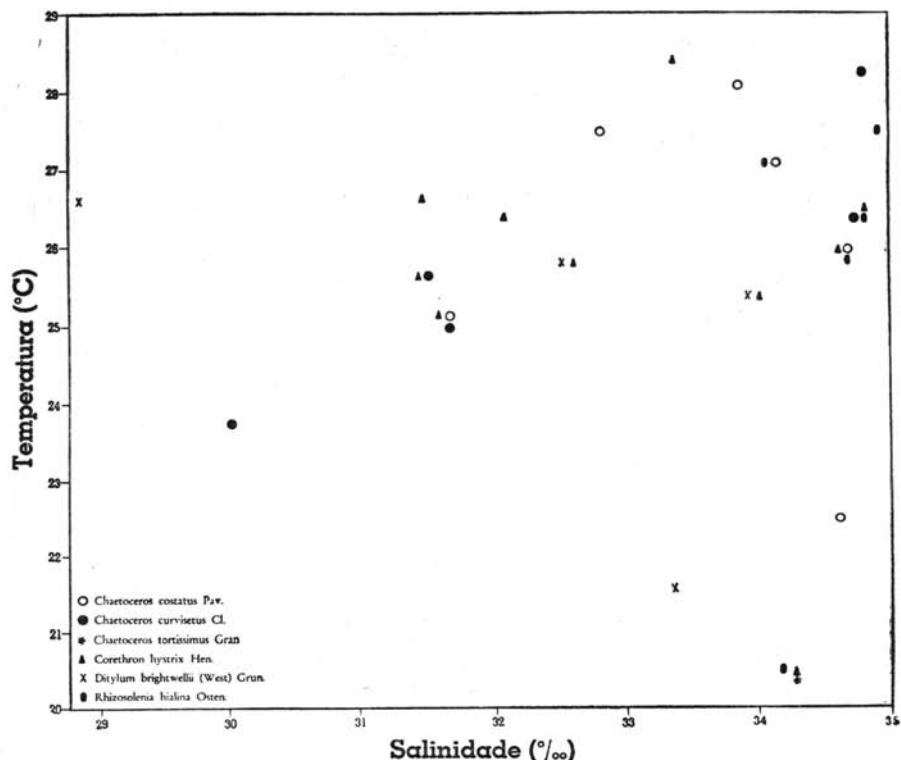


Fig. 1 — Principais formas típicas assinaladas em águas de alta salinidade (Estações: 1 a 4).

Assim é que podemos distinguir três tipos de comunidades planctônicas bem definidas quando relacionadas com o fator salinidade (não se levando em conta a concentração de íons específicos).

a) *Organismos adaptados a pequenas variações dentro de um espectro de alta salinidade:* trata-se dos organismos constituintes da flora oceânica encontrados principalmente nas estações 1 a 4 (Tabela I, Figura 1).

Formas típicas: *Chaetoceros costatus* Pav., *Chaetoceros curvisetus* Cl., *Corethron hystrix* Hen., *Rhizosolenia hyalina* Ostenfeld, *Ditylum brightwellii* (West) Grun.

b) *Organismos adaptados a grandes variações de salinidade:* fazem parte do plâncton encontrado principalmente entre as estações 1 e 8, cuja salinidade vai de 34,90‰ até 12,00‰. (Tabela I, Figura 2).

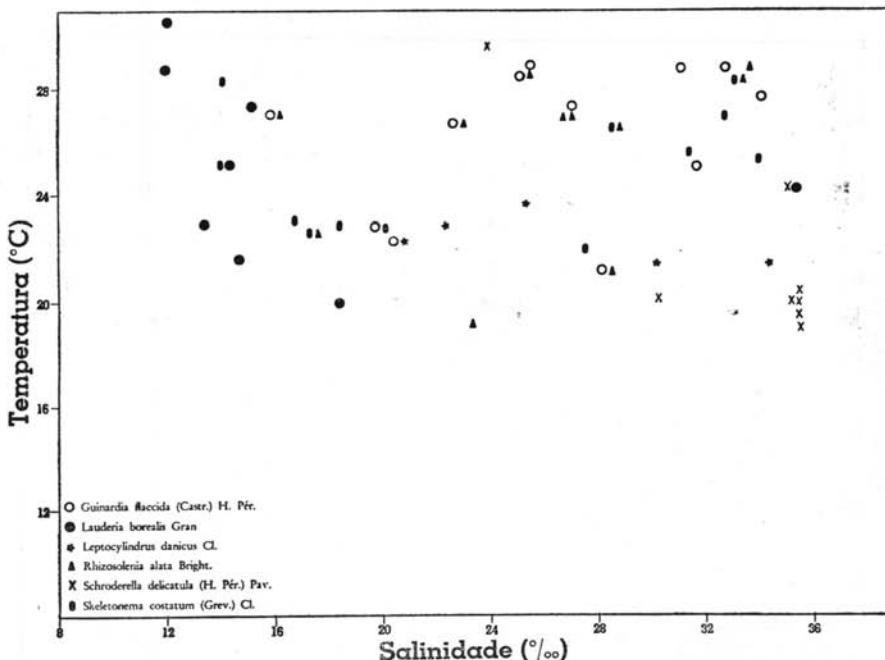


Fig. 2 — Principais formas típicas adaptadas a grandes variações de salinidade (Estações: 1 a 8).

Como formas típicas podemos citar as seguintes espécies: *Lauderia borealis* Gran, *Skeletonema costatum* (Grev.) Cl., *Guinardia flaccida* (Castr.) H. Pér., *Rhizosolenia alata* Brightw., *Leptocylindrus danicus* Cl. e *Schröderella delicatula* (H. Pér.) Pav.

c) Organismos adaptados a variações dentro de um espectro de baixa salinidade: constituintes do plâncton encontrado principalmente nas estações 7 a 10 até a região do Valo Grande. (Tabela II, Figura 3).

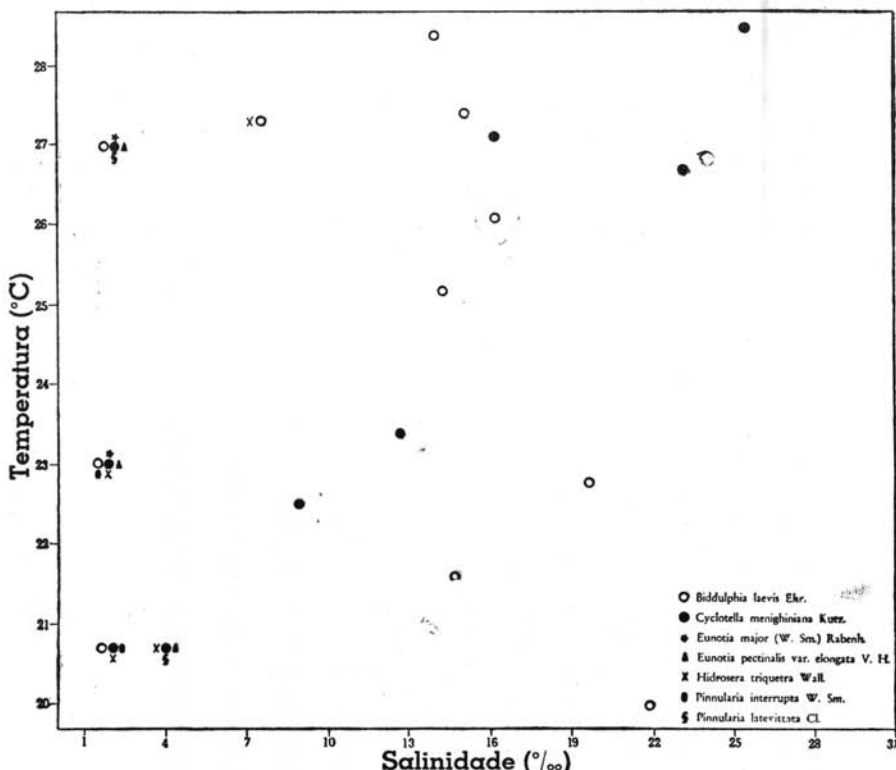


Fig. 3 — Organismos típicos de águas de baixa salinidade (Estações: 7 a 10).

As formas típicas da flora são: *Pinnularia interrupta* W. Sm., *Pinnularia latevittata* Cl., *Hidrosira triquetra* Wall., *Eunotia major* (W. Sm.) Rabenh., *Eunotia pectinalis* var. *elongata* V.H. e *Cyclotella menighiniana* Kütz.

TEMPERATURA — O fator temperatura apresenta grande importância na distribuição do fitoplâncton, quando considerado sob o ponto de vista biogeográfico através das várias latitudes. Temos neste caso uma diversidade específica devido à temperatura bastante considerável, dando como resultado as espécies tropicais, temperadas, etc. No entanto em relação aos nossos estudos, em virtude

da grande proximidade entre as estações de coleta, embora se deva levar em conta a proximidade da costa, não se pode esperar qualquer influência marcada entre a distribuição do plâncton e a temperatura. A variação deste fator na região, em média, não apresenta grandes flutuações de modo que o gráfico foi construído sobre os dados obtidos em frente à base de Cananéia (Fig. 4) e considerado como sendo representativo para todos os locais de nossos estudos.

BIOGEOGRAFIA — Estudos de natureza biogeográfica relacionados com o fitoplâncton, baseados nos conceitos dos térmos nerítico e oceânico, segundo Gran (1900), não apresentam nenhum valor e não devem ser usados (Smayda, 1958).

Tentamos classificar algumas das espécies por nós estudadas segundo a nova classificação binária proposta por Smayda (1958), que

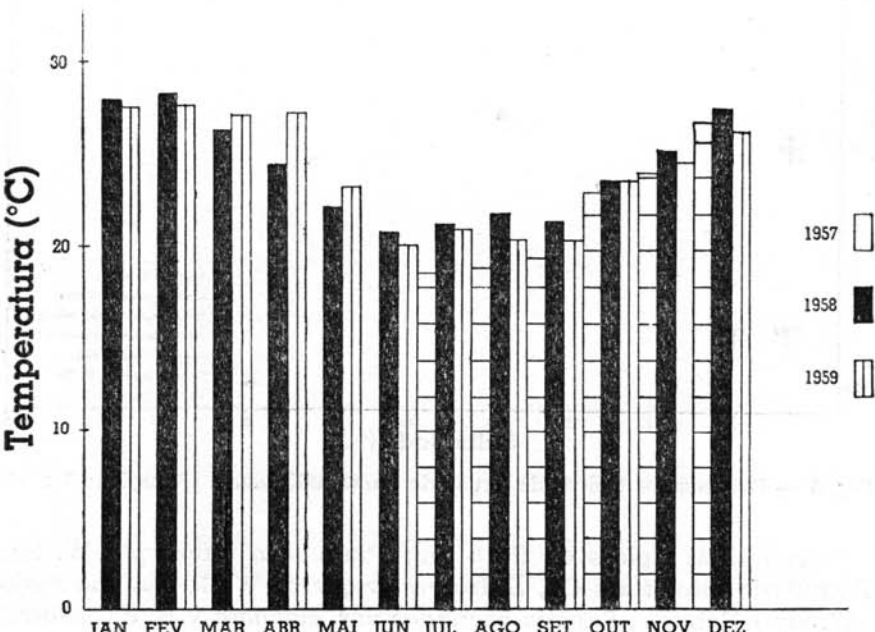


Fig. 4 — Valores médios mensais da temperatura da água em °C, durante o período de estudos. (Segundo Garcia Occhipinti, 1960).

apresenta grande valor biogeográfico. Entretanto para a sua aplicação são necessários conhecimentos sobre a biologia de cada espécie. Como de grande número das espécies do fitoplâncton, não se conhece o ciclo vital, na prática esta classificação é restrita, ficando

os estudos biogeográficos na dependência de futuros estudos em laboratórios, através de culturas.

SISTEMÁTICA — A análise sistemática foi baseada principalmente nas obras de Hustedt (1930), Cupp (1943) e Cleve-Euler (1952-1955).

TABELA I
S %

Estação	Máxima	Média	Mínima
1	34,90	33,45	32,00
2	34,79	33,21	32,00
3	34,47	32,35	28,89
4	—	—	—
5	30,99	24,90	20,70
6	28,30	23,43	19,15
7	15,15	14,60	14,00
8	14,80	13,40	12,00

TABELA II
S %

Estação	Máxima	Média	Mínima
7	15,15	14,60	14,00
8	14,80	13,40	12,00
9	9,30	4,72	1,85
10	3,45	2,25	1,00

Para as espécies de maior ocorrência damos uma tabela juntamente com a freqüência relativa.

Em relação às espécies tomadas como “padrão” de determinados habitat, foi levado em consideração o estado aparente das células, pois sómente as células vivas e em estado de reprodução, possam talvez fazer parte de determinadas comunidades como constituintes normais.

AGRADECIMENTOS

Somos gratos à Dra. M. Vannucci, pelas valiosas sugestões e críticas. Ao Conselho Nacional de Pesquisas, Rio de Janeiro, pela concessão de bolsas de estudos, permitindo-nos a realização deste trabalho.

TABELA III

FREQUÊNCIA RELATIVA DA OCORRÊNCIA DOS PRINCIPAIS GÊNEROS NAS ESTAÇÕES 1 A 4

GÊNEROS	% 1 2 3 4			
	1	2	3	4
<i>Actinocyclus</i>	4,50	3,33	1,75	2,40
<i>Actinoptychus</i>	—	—	1,75	2,00
<i>Asterionella</i>	2,34	1,65	1,10	2,15
<i>Asteromphalus</i>	1,65	1,65	—	1,70
<i>Bacillaria</i>	1,45	—	—	1,00
<i>Bacteriastrum</i>	5,32	5,00	5,70	5,00
<i>Biddulphia</i>	2,47	2,54	5,40	4,54
<i>Cerataulina</i>	3,81	3,50	1,75	3,75
<i>Chaetoceros</i>	14,40	13,35	13,80	13,00
<i>Corethron</i>	2,60	2,65	1,75	1,70
<i>Coscinodiscus</i>	11,32	11,80	9,30	10,50
<i>Ditylum</i>	3,40	2,45	1,75	1,70
<i>Fragilaria</i>	1,65	1,65	1,70	2,00
<i>Guinardia</i>	3,70	4,30	3,22	2,90
<i>Hemiallus</i>	3,43	3,80	3,46	3,12
<i>Hemidiscus</i>	1,40	2,43	5,00	4,00
<i>Leptocylindrus</i>	1,45	1,65	1,40	1,70
<i>Melosira</i>	2,10	3,33	3,30	3,17
<i>Nitzschia</i>	1,00	1,40	1,55	2,10
<i>Rhizosolenia</i>	15,23	17,16	20,00	19,00
<i>Skeletonema</i>	2,74	3,00	3,64	3,27
<i>Stephanopyxis</i>	3,70	3,80	3,00	2,30
<i>Thalassionema</i>	4,70	5,10	3,34	3,00
<i>Triceratium</i>	—	1,65	2,00	1,90
<i>Demais gêneros</i>	3,40	2,00	3,00	2,00

TABELA IV

FREQUÊNCIA RELATIVA DA OCORRÊNCIA DOS PRINCIPAIS GÊNEROS NAS ESTAÇÕES 5 A 7

GÊNEROS	% 5 6 7		
	5	6	7
<i>Actinocyclus</i>	1,80	2,10	1,60
<i>Actinoptychus</i>	2,12	2,00	2,93
<i>Amphora</i>	1,45	1,75	1,57
<i>Amphiprora</i>	1,00	1,00	1,00
<i>Asterionella</i>	1,50	1,50	—
<i>Bacillaria</i>	1,00	—	—
<i>Bacteriastrum</i>	3,15	2,18	1,10
<i>Biddulphia</i>	8,30	11,70	12,30
<i>Caloneis</i>	1,12	1,00	—
<i>Campylodiscus</i>	—	1,00	—
<i>Cerataulus</i>	1,00	3,15	3,20
<i>Chaetoceros</i>	10,40	3,50	2,40
<i>Coccconeis</i>	4,19	4,10	5,60
<i>Coscinodiscus</i>	12,14	14,80	16,40

GÊNEROS	% 5 6 7		
	5	6	7
<i>Cyclotella</i>	4,97	4,90	5,25
<i>Cymatosira</i>	1,30	1,70	1,00
<i>Diploneis</i>	3,10	3,15	2,75
<i>Ditylum</i>	1,00	—	—
<i>Guinardia</i>	1,97	1,80	1,40
<i>Gyrosigma</i>	1,18	1,90	2,50
<i>Hemiaulus</i>	1,00	1,00	—
<i>Leptocylindrus</i>	1,43	1,20	1,00
<i>Mastogloia</i>	2,10	2,00	2,43
<i>Melosira</i>	2,32	3,90	5,50
<i>Navicula</i>	2,93	3,30	3,30
<i>Nitzschia</i>	3,34	3,50	3,30
<i>Pleurosigma</i>	2,14	3,16	2,50
<i>Raphoneis</i>	1,10	2,10	2,30
<i>Rhizosolenia</i>	1,00	1,00	1,00
<i>Schroderella</i>	1,42	1,00	1,00
<i>Skeletonema</i>	2,85	2,00	1,70
<i>Stephanopyxis</i>	1,22	1,00	—
<i>Surirella</i>	4,15	4,00	5,50
<i>Synedra</i>	2,30	2,50	4,00
<i>Thallassionema</i>	1,40	1,00	1,00
<i>Triceratium</i>	3,80	2,00	4,00

TABELA V

FREQUÊNCIA RELATIVA DA OCORRÊNCIA DOS PRINCIPAIS
GÊNEROS NAS ESTAÇÕES 8 A 10

GÊNEROS	% 8 9 10		
	8	9	10
<i>Achnanthes</i>	2,60	2,50	2,10
<i>Actinocyclus</i>	1,70	1,60	1,40
<i>Actinoptychus</i>	2,80	2,40	—
<i>Amphiprora</i>	1,40	1,40	1,00
<i>Amphora</i>	—	1,00	1,20
<i>Biddulphia</i>	12,90	14,75	16,75
<i>Caloneis</i>	2,45	3,35	—
<i>Campylodiscus</i>	1,30	—	—
<i>Coccneis</i>	5,35	5,95	7,15
<i>Coscinodiscus</i>	15,70	16,78	14,77
<i>Cyclotella</i>	7,50	8,90	9,41
<i>Cymatosira</i>	1,70	—	—
<i>Cymbella</i>	—	—	1,00
<i>Diploneis</i>	2,40	2,75	—
<i>Eunotia</i>	3,37	4,20	6,54
<i>Fragilaria</i>	—	—	1,32
<i>Hidrosera</i>	2,34	2,37	3,98
<i>Melosira</i>	1,86	2,10	3,49
<i>Navicula</i>	1,34	1,45	2,43
<i>Nitzschia</i>	4,15	3,33	3,17

GÊNEROS	%		
	8	9	10
<i>Pinnularia</i>	2,10	3,25	5,59
<i>Pleurosigma</i>	1,30	1,00	1,00
<i>Raphoneis</i>	1,70	1,45	1,00
<i>Rhopalodia</i>	—	—	1,00
<i>Skeletonema</i>	1,70	1,45	—
<i>Stauroneis</i>	—	—	1,00
<i>Surirella</i>	10,34	10,30	9,11
<i>Synedra</i>	3,40	2,17	1,96
<i>Terpsinoe</i>	2,55	2,36	1,00
<i>Trachyneis</i>	1,40	—	—
<i>Triceratium</i>	3,70	2,17	2,50

RELAÇÃO DAS ESPÉCIES ENCONTRADAS

- Achnanthes longipes* Ag.
Actinocyclus brasiliensis M. Melchers
Actinocyclus ehrenbergii Ralfs.
Actinocyclus ehrenbergii var. *ralfsii* (W. Sm.) Hustedt
Actinoptychus campanulifer A. S.
Actinoptychus splendens (Shadb.) Ralfs
Actinoptychus turgidus T. e Brun
Actinoptychus undulatus Ehr.
Actinoptychus vulgaris Schumann
Amphora decussata Grun.
Amphiprora alata Kütz.
Asterionella japonica Cleve
Asteromphalus flabellatus Bréb.
Asteromphalus hookerii Ehr.
Auliscus caelatus Bailey
Bacillaria paradoxa Gmel.
Bacteriastrum delicatulum Cleve
Bacteriastrum hialinum Laud.
Bacteriastrum varians Laud.
Biddulphia aurita (Lingb.) Bréb e God.
Biddulphia laevis Ehr.
Biddulphia longicurvis Grev.
Biddulphia mobiliensis (Bailey) Grun.
Biddulphia rhombus (Ehr.) W. Sm.
Biddulphia sinensis Grev.
Caloneis bivittata Pant.
Caloneis brasiliensis Heiden
Campylodiscus cocconeiformis Grun.
Campylodiscus daemelianus Grun.
Cerataulina bergenii H. P.
Cerataulus smithii Ralfs

- Chaetoceros coarctatus* Laud.
Chaetoceros compressus Laud.
Chaetoceros costatus Pav.
Chaetoceros curvisetus Mang.
Chaetoceros didymus Ehr.
Chaetoceros lorenzianus Ehr.
Chaetoceros peruvianus Bright.
Chaetoceros tortissimus Gran.
Coccconeis debesi Hustedt
Coccconeis disculus (Schum.) Cleve
Corethron hystrix Hen.
Coscinodiscus brasiliensis M. Melchers
Coscinodiscus curvatulus Grun.
Coscinodiscus denarius A. S.
Coscinodiscus excentricus Ehr.
Coscinodiscus gigas Ehr.
Coscinodiscus granii Gough.
Coscinodiscus jonesianus (Grev.) Ostenfeld
Coscinodiscus jonesianus Ostenfeld var. *aculeata* Meister
Coscinodiscus lineatus Ehr.
Coscinodiscus lineatus var. *leptopus* Grun.
Coscinodiscus marginatus Ehr.
Coscinodiscus nitidus Greg.
Coscinodiscus obscurus A. S.
Coscinodiscus oculus-iridis Ehr.
Coscinodiscus perforatus var. *celullosa* Grun.
Coscinodiscus perforatus var. *pavillardi* (Fort) Hustedt
Cyclotella menighiniana Kütz.
Cyclotella striata (Kütz.) Grun.
Cyclotella stylorum Bright.
Cyclotella sp.
Cymatosira adaroi Azpeitia
Cymbella turgida (Greg.) Cleve
Diploneis bombus Hustedt
Diploneis gruendleri (A. S.) Cleve
Diploneis smithi (Bréb.) Cleve
Diploneis vacillans (A. S.) Cleve
Diploneis weissflogi (A. S.) Cleve
Ditylum brightwellii (West) Grun.
Eucampia zodiacus Ehr.
Eunotia major (W. Sm.) Rabh.
Eunotia pectinalis var. *elongata* V. H.
Eunotia praerupta var. *bidens* Grun.
Eunotia sudetica O. Müller
Fragilaria gracillima May.

- Fragilaria* sp.
Frustulia interposita (Lewis) De Toni
Guinardia flaccida (Castr.) H. Pér.
Gyrosigma balticum (Ehr.) Cleve
Gyrosigma itaparicanum (Zim.)
Hemiaulus membranaceus Cleve
Hemiaulus sinensis Grev.
Hemidiscus cuneiformis Wall.
Hemidiscus hardmanianus (Grev.) Mann
Hemidiscus ovalis Lohman
Hemidiscus sp.
Hyalodiscus sp.
Hidrosera triquetra Wall.
Lauderia borealis Gran.
Leptocylindrus danicus Cleve
Lithodesmium undulatum Ehr.
Mastogloia apiculata W. Smith
Mastogloia erytreae Grun.
Melosira borreri Grev.
Melosira sulcata (Ehr.) Kütz.
Navicula exigua (Greg.) Grun.
Navicula lyra Ehr.
Navicula minima Grun.
Navicula plagiostoma Grun.
Navicula punctulata var. *marina* (Ralfs.) A. Cleve
Navicula scopulorum Bréb.
Navicula zostereti Grun.
Nitzschia angularis W. Sm.
Nitzschia circumsuta (Bail.) Grun.
Nitzschia fluminensis Grun.
Nitzschia granulata Grun.
Nitzschia longa Grun.
Nitzschia longissima (Bréb.) Ralfs
Nitzschia lorenziana Grun. var. *subtilis*
Nitzschia macilenta Greg.
Nitzschia obtusa W. Sm.
Nitzschia panduriformis Greg.
Nitzschia panduriformis var. *minor* Grun.
Nitzschia punctata W. Sm. var. *curta* Grun.
Nitzschia seriata Cleve
Nitzschia sigma (Kütz.) W. Sm. var. *intercedens* Grun.
Nitzschia sigma (Kütz.) var. *sigmatella* Grun.
Nitzschia spectabilis (Ehr.) Grun.
Nitzschia triblionella Hantzsch
Nitzschia vidovichii Grun.

- Nitzschia* sp.
Pinnularia interrupta W. Sm.
Pinnularia latevittata Cleve
Pleurosigma affine Grun.
Pleurosigma brasiliiana. M. Melchers
Pleurosigma formosum W. Sm.
Pleurosigma naviculaceum Bréb.
Pleurosigma normanii Ralfs
Pleurosigma sp.
Podosira stelliger Bailey
Raphoneis castracanei Grun.
Raphoneis surirella (Ehr.) Grun.
Rhizosolenia alata Bright.
Rhizosolenia alata forma *gracillima* (Cl.) Grun.
Rhizosolenia alata forma *indica* (H. Pér.) Osten.
Rhizosolenia bergenii H. Pér.
Rhizosolenia calcar avis M. Schultze
Rhizosolenia castracanei H. Pér.
Rhizosolenia fragilissima Berg.
Rhizosolenia robusta Norm.
Rhizosolenia setigera Bright.
Rhizosolenia stolteforthii H. Pér.
Rhopalodia sp.
Schröderella delicatula Hustedt
Skeletonema costatum (Grev.) Cleve
Stauroneis sp.
Stephanopyxis palmeriana (Grev.) Grun.
Stephanopyxis turris (Grev. e Arn.) Ralfs
Surirella fastuosa Ehr.
Surirella febigerii Lewis
Surirella gemma Ehr.
Surirella guatimalensis Ehr.
Surirella kittoni A. S.
Surirella recedens A. S.
Surirella rorata Frenguelli
Surirella tenera Greg.
Synedra acus Kütz. var. *angustissima* Grun.
Synedra goulardi (Bréb.)
Synedra pulchella (Ralfs, Kütz) var. *smithii* (Ralfs) V. H.
Synedra sp.
Terpsinoe americana (Bail.)
Terpsinoe musica Ehr.
Thalassionema nitzschiooides Grun.
Trachyneis aspera (Ehr.) Cleve
Triceratium alternans Bail.

- Triceratium favus* Ehr.
Triceratium favus Ehr. forma *quadrata* Grun.
Triceratium patagonicum A. S.
Triceratium uncinatum A. S.
Tropidoneis seriata Cleve

LEVANTAMENTO SISTEMÁTICO

Gên. *CHAETOCEROS* Ehr.

Chaetoceros tortissimus Gran
(Est. III, Fig. 3)

Chaetoceros tortissimus Hustedt 1930, p. 751, fig. 434.
Chaetoceros tortissimus Cupp 1943, p. 142, fig. 99.

Apresenta-se em cadeias não muito longas e fortemente curvadas. Os apêndices de conexão inter-celulares são bem finos, sendo que os terminais não são distintos. As membranas são fracamente silicificadas. Cada célula apresenta um único cromatóforo. Largura de 8 a 18 μ .

Trata-se de uma espécie muito pouco assinalada geográficamente.

Segundo Hustedt é uma forma raramente observada. Cupp estudando a costa oeste da América do Norte, assinalou-a como sendo uma espécie temperada do norte e de ocorrência nada comum.

DISTRIBUIÇÃO GEOGRÁFICA — Mares da Noruega, golfo do Leão, costa oeste da África do Norte, Moçambique.

OCORRÊNCIA — Costa sul do Estado de São Paulo ($25^{\circ}9,5'S$ — $47^{\circ}35,7'W$) em duas amostras de superfície.

DISCUSSÃO — Esta espécie com toda certeza não é um componente da flora tropical. Devemos considerá-la como sendo uma forma visitante de águas frias. Silva (1956) assinala a sua ocorrência em águas tropicais; no entanto não apresenta nenhuma especificação de qualquer natureza.

Em nossas águas, encontramos apenas em duas amostras, onde constatamos algumas cadeias. A temperatura da água era de ordem de $22,8^{\circ}C$ e a salinidade de $34,90\%$.

Biogeográficamente talvez possa ser classificada como uma espécie holo-adiafórica.

Gên. EUNOTIA Rabh.

Eunotia major (W. Sm.) Rabh.

(Est. I, Fig. 4)

Eunotia major Van Heurck 1880-1885, p. 142, est. 34, fig. 14.

Eunotia major De Toni 1891-1894, p. 791.

Eunotia major Schmidt 1874-1944, est. 273, fig. 41.

Eunotia major M. Melchers 1945, p. 17, est. 2, fig. 5.

Eunotia monodon var. *maior* Hustedt 1927-1937, p. 305, fig. 772c.

Eunotia major var. *scandica* Cleve-Euler 1952-1955, parte 2, p. 119, fig. 456c.

Valvas alongadas, com margens paralelas e extremidades arredondadas, rombudas. A região mediana da valva é pouco mais larga que a parte terminal. Estrias grossas, 9 em 10 μ . Comprimento: 88 μ . Largura: 9 μ .

DISTRIBUIÇÃO GEOGRÁFICA — Cosmopolita de águas doces; freqüente na Europa e América do Sul.

OCORRÊNCIA — Principalmente na embocadura do Valo Grande.

Eunotia praerupta v. *bidens* Grun.

(Est. I, Fig. 5)

Eunotia praerupta var. *bidens* Van Heurck 1880-1885, p. 143 est. 34, fig. 20

Eunotia praerupta var. *bidens* De Toni 1891-1894, p. 795.

Eunotia praerupta var. *bidens* Schmidt 1874-1944, est. 273, fig. 33.

Eunotia praerupta var. *bidens* Hustedt 1927-1937, p. 281, fig. 747 A, i-m.

Eunotia praerupta var. *bidens* Hustedt 1930, p. 174, fig. 213.

Eunotia praerupta var. *genuina* Cleve-Euler 1952-1955, parte 22, p. 127, fig. 466b.

Valvas lineares com extremidades rombudas. Linha dorsal com duas saliências. Linha ventral levemente côncava, quase reta. Rafe visível. Há 14 estrias em 10 μ . Comprimento: 34 μ . Largura 9 μ .

DISTRIBUIÇÃO GEOGRÁFICA — Cosmopolita de águas doces. Assinalada em várias regiões da Europa e América do Sul.

OCORRÊNCIA — Embocadura do Valo Grande.

Eunotia sudetica O. Müller

(Est. I, Fig. 6)

Eunotia sudetica Hustedt 1927-1937, p. 299, fig. 764.

Eunotia sudetica Schmidt 1874-1944, est. 294, fig. 27.

Eunotia sudetica Müller-Melchers 1945, p. 17, est. II, fig. 10.

Eunotia sudetica var. *incisa* Cleve-Euler 1952-1955, parte 2, p. 110, figs. 447h-k.

Valva em forma de lança, com margem dorsal convexa e margem ventral reta. A região dorsal apresenta duas zonas ligeiramente côncavas junto às extremidades, que terminam em rombo. Comprimento: 34μ . Largura: 5μ . Há 12 estrias em 10μ .

DISTRIBUIÇÃO GEOGRÁFICA — Pântanos e poças da Europa Central; na Argentina e Uruguai.

OCORRÊNCIA — Próximo a Vamiranga e embocadura do Vale Grande.

Gên. LAUDERIA Cleve

Lauderia borealis Gran

(Est. III, Fig. 1)

Lauderia borealis Gran 1900, p. 110, est. 9, figs. 1-5.

Lauderia borealis Hustedt 1930, p. 549, fig. 313.

Lauderia borealis Cupp 1943, p. 74, fig. 35.

Valvas circulares. Células cilíndricas, unidas entre si pela região valvar, formando cadeias curtas. Na região marginal existem numerosos espinhos, que sómente podem ser bem examinados por meio de corantes (safranina). Cromatóforos em grande número. Diâmetro valvar: 34 a 40μ .

DISTRIBUIÇÃO GEOGRÁFICA — Índico, muito comum. Mares do Norte pouco freqüente. Mediterrâneo, costas da Argentina e Uruguai.

OCORRÊNCIA — Costa sul do Estado de S. Paulo (Região de Cananéia).

DISCUSSÃO — Segundo Hendey (1937), trata-se de uma forma oceânica de águas quentes. Segundo Cupp (l.c.), trata-se de uma espécie temperada e nerítica. Não se pode, entretanto, considerar esta espécie tipicamente de natureza oceânica, como afirmou Hendey, pois segundo Smayda (1958), trata-se de uma espécie que pode viver em águas de salinidade bem baixas, até 7‰. Um dos locais onde foi por nós assinalada é de águas salobras e em certas ocasiões a espécie se apresentava abundante e em estado fisiológico ótimo.

Por outro lado, sua ocorrência já foi bem determinada em águas subtropicais e equatoriais, não se podendo portanto considerá-la como sendo uma forma temperada, como afirma Cupp (1943). Em relação à temperatura verificamos sua ocorrência de $20,0^{\circ}\text{C}$ a $30,7^{\circ}\text{C}$.

Levando-se em consideração a tolerância que esta espécie apresenta em relação a tão grande variação de temperatura e salinidade, portanto euritérmica e euri-halina, propomos que a mesma seja considerada de natureza holo-adiafórica, segundo a classificação binária para o fitoplâncton marinho proposta por Smayda (1958) e muito provavelmente de vasta distribuição.

Gên. *LEPTOCYLINDRUS* Cleve

Leptocylindrus danicus Cleve

(Est. IV, Fig. 5)

Leptocylindrus danicus Hustedt 1930, p. 558, figs. 318-319.

Leptocylindrus danicus Cupp 1943, p. 78, fig. 39.

Células tubulares cilíndricas, alongadas. Valvas circulares e ligeiramente convexas. As células se ligam entre si formando cadeias, geralmente curtas. Diâmetro: 8 a 16 μ . Segundo Hustedt (1930), trata-se de uma espécie nerítica, entretanto encontra-se também em águas oceânicas.

DISTRIBUIÇÃO GEOGRÁFICA — Mares do Norte, Argentina, Uruguai e Brasil. Neste último, nas seguintes localidades: Rio Grande do Sul, Paranaguá, Cananéia, Santos e Rio de Janeiro.

OCORRÊNCIA — Desde Lat. 25°7,9'S - Long. 47°48,4'W até a região de Pedrinhas (Lat. 24°59'S - Long. 47°58'W).

DISCUSSÃO — Em relação a sua distribuição nota-se a sua presença em águas com salinidade variando de 12,00‰ até 34,90‰, devendo tratar-se naturalmente de uma forma mero-adiafórica, pois segundo parece, seu ciclo de vida requer em certas fases da sua vida vegetativa, a presença do ambiente costeiro.

Gên. *NITZSCHIA* Hassal

Nitzschia angularis W. Sm.

(Est. I Fig. 3)

Nitzschia angularis Schmidt 1874-1944, est. 335, figs. 18-21.

Nitzschia angularis Cleve-Euler 1952-1955, parte 5, p. 70, fig. 1461.

Nitzschia angularis Peragallo & Peragallo, 1897-1908, est. 73, fig. 6.

Valvas convexas, sendo sua parte central a região de maior largura; sofrem um afilamento em direção às extremidades que são lanceoladas. A carena fica situada na parte mediana da valva, sendo circundada lateralmente por uma faixa de membrana mais hialina

do que o resto da valva (devido a menor silicificação nesta região). As estrias são finas e se cruzam entre si formando um ângulo agudo. A carena apresenta de 5 a 7 pontos em 10μ . O comprimento varia de 140 a 170μ e a largura de 14 a 18μ . Cérca de 30 estrias foram contadas em 10μ .

DISTRIBUIÇÃO GEOGRÁFICA — Pode ser considerada espécie cosmopolita.

OCORRÊNCIA — Além da região de Cananéia, assinalamos na região de Ubatuba e Rio de Janeiro.

Nitzschia fluminensis Grunow

(Est. I, Fig. 2)

Nitzschia fluminensis Hustedt 1955, p. 46.

Nitzschia fluminensis Peragallo & Peragallo 1897-1904, est. 71, fig. 9.

Células mais ou menos fusiformes com as extremidades em pontas. Estrias apenas no sentido transversal, sendo em número de 4 vêzes maior que os pontos carenais. Comprimento de 115 a 122μ e largura de 14 a 17μ . O número de estrias variou de 16 a 18 em 10μ ; a carena é formada por 4 a 5 pontos em 10μ .

DISTRIBUIÇÃO GEOGRÁFICA — Espécie cosmopolita, com predominância em águas quentes de regiões costeiras.

OCORRÊNCIA — Região de Cananéia e com certa freqüência junto a região de Abrolhos.

Nitzschia longissima (Bréb.) Ralfs

(Est. IV, Fig. 2)

Nitzschia longissima Peragallo & Peragallo 1897-1908, est. 74, fig. 20.

Nitzschia longissima Zimmermann 1916, p. 94.

Nitzschia longissima Allen & Cupp 1935, p. 163, fig. 121.

Nitzschia longissima Schmidt 1874-1944, est. 335, figs. 1-2.

Células lanceoladas apresentando suas extremidades em forma de apículos bastante longos e geralmente encurvados. Cromatóforos em número de dois, ocupando a região central. Comprimento de 240μ e a largura na parte central de 7μ .

DISTRIBUIÇÃO GEOGRÁFICA — Espécie cosmopolita, encontrando-se principalmente no plâncton. No Brasil foi assinalada por Zimmermann no plâncton superficial da região de Itaparica.

OCORRÊNCIA — Assinalada com relativa freqüência próximo à região da Barra de Cananéia e nas proximidades da Ilha do Bom Abrigo.

Além da forma *typica*, constatamos a presença da forma *costata* (Schmidt 1874-1944, est. 335, fig. 4), em algumas amostras colhidas junto à Ilha do Bom Abrigo.

Nitzschia macilenta Gregory

(Est. IV, Fig. 1)

Nitzschia macilenta Schmidt 1874-1944, est. 352, figs. 1-2.

Nitzschia macilenta Peragallo & Peragallo 1897-1908, est. 72, fig. 1.

Valvas alongadas com diâmetro bastante regular, diminuindo ligeira e gradualmente em direção às extremidades. A carena se localiza em posição equidistante em relação aos lados valvares. A estriação é muito fina, sendo dificilmente visível. O comprimento mostrou uma variação de 200 a 225 μ , a largura de 5 a 6 μ e a carena formada por 3 a 5 pontos em 10 μ .

DISTRIBUIÇÃO GEOGRÁFICA — Atlântico, Pacífico, Mediterrâneo. Possivelmente trata-se de espécie cosmopolita.

OCORRÊNCIA — Baía do Trapandé, junto ao Argolão e Ilha do Bom Abrigo.

Nitzschia sigma (Kütz.) W. Sm. var. *intercedens* Grun.

(Est. IV, Fig. 3)

Nitzschia sigma var. *intercedens* Van Heurck 1880-1885, p. 179, est. 66, fig. 1.

Nitzschia sigma var. *intercedens* De Toni 1891-1894, p. 548.

Nitzschia sigma var. *intercedens* Allen & Cupp 1935, p. 162, fig. 119.

Difere da forma *typica*, estruturalmente quanto ao número de estrias que é maior e morfológicamente menos sigmóide em vista pleural. Ocorre geralmente como indivíduos isolados. Encontramos uma variação de comprimento de 190 a 300 μ ; Largura: 6 a 8,5 μ ; Estrias: 29 a 32 em 10 μ . Carena: 6 pontos em 10 μ .

DISTRIBUIÇÃO GEOGRÁFICA — América do Norte, Argentina.

OCORRÊNCIA — Baía do Trapandé, Barra de Cananéia e próximo ao Argolão.

Gên. PINNULARIA Ehr.

Pinnularia latevittata Cleve

(Est. I, Fig. 1)

Navicula latevittata Zimmermann 1916, p. 85.

Pinnularia latevittata f. *typica* Cleve-Euler 1952-1955, parte 4, p. 72, fig. 11.

Pinnularia latevittata Müller-Melchers 1945, p. 10.

Valvas grandes, lineares, com as extremidades arredondadas. Margens retas. Rafe não complexa; a parte mediana da haste da rafe todavia, um pouco oblíqua e mais larga. Área axial moderadamente larga. Área central alargada transapicalmente. Estrias fracamente radiadas, quase paralelas nas extremidades. De 5 a 6 estrias em 10 μ . Comprimento: 288 μ . Largura: 33 μ .

DISTRIBUIÇÃO GEOGRÁFICA — Forma típica de águas doces. Já assinalada no Brasil (Rio de Janeiro) por Zimmermann, como *Navicula latevittata*.

OCORRÊNCIA — Proximidades de Vamiranga.

Gên. SCHRÖDERELLA Pavillard

Schröderella delicatula Hustedt

(Est. IV, Figs. 6 e 7)

Schroderella delicatula Hustedt 1930, p. 551, fig. 314.

Schroderella delicatula Cupp 1943, p. 76, fig. 36.

Células cilíndricas com valvas circulares e convexas. No centro das valvas há uma pequena depressão de onde se origina um espinho que vai de uma célula a outra, formando cadeias. A parte marginal é rodeada por espículos que formam uma espécie de retículo entre duas células adjacentes. A formação de auxósporos se verifica pelo estrangulamento da região pleural, ocorrendo certa expansão da matéria protoplasmática lateralmente, sendo que o espóro passa a ter um diâmetro bem maior do que a célula-mãe (Est. IV, Fig. 7). Diâmetro: 21 a 26 μ .

DISTRIBUIÇÃO GEOGRÁFICA — Atlântico e Mediterrâneo, muito comum nas costas da África do Sul (Hendey 1937, p. 241). É considerada como sendo uma forma nerítica de águas quentes e salinidades não muito elevadas. Assinalámo-la em águas com salinidades variando de 20,72‰ até 34,90‰ e a temperatura variando de 18,86°C até 29,70°C.

OCORRÊNCIA — Temos observado sua presença em várias amostras nestes últimos anos, principalmente nas proximidades de Cananéia.

DISCUSSÃO — Da sua ocorrência, assim como dos requisitos necessários para as várias fases da sua vida vegetativa, parece-nos poder qualificá-la como sendo uma forma mero-parática (Smayda 1958, p. 180).

Gên. *SURIRELLA* Turpin

Surirella guatimalensis Ehr.

(Est. II, Fig. 4)

Surirella guatimalensis = *Surirella cardinalis* Schmidt 1874-1944, est. 21, figs. 11-13.

Valvas ovais. O espaço central é constituído por pequenas pontuações, sendo que na parte mediana e longitudinalmente existe uma formação estriada que lembra uma pseudo-rafe. Marginalmente ficam situadas as rafes, uma de cada lado. Comprimento: 116 a 208 μ . Largura: 56 a 94 μ .

DISTRIBUIÇÃO GEOGRÁFICA — Argentina, Chile. Descrita por Ehrenberg na Guatemala.

OCORRÊNCIA — Mar de Cubatão, na região de Cananéia.

Surirella kittoni A. S.

(Est. II, Fig. 5)

Surirella kittoni Schmidt 1874-1944, est. 23, fig. 12-14.

Valvas de forma elíptica. Espaço central lanceolado. Rafes dificilmente visíveis. Comprimento: 78 a 95 μ . Largura: 30 a 36 μ .

DISTRIBUIÇÃO GEOGRÁFICA — Rio Demerara (Guiana Inglêsa).

OCORRÊNCIA — Assinalada em vários pontos da região de Cananéia, principalmente no "Mar de Dentro", chegando a ser assinalada na barra durante algumas marés baixas.

Gên. *SYNEDRA* Ehr.

Synedra acus Kz. var. *angustissima* Grunow

(Est. IV, Fig. 8)

Synedra delicatissima var. *angustissima* Van Heurck 1880-1885, p. 151, est. 39, fig. 10.

Synedra acus var. *angustissima* De Toni 1891-1894, p. 656.

Synedra acus var. *angustissima* Hustedt 1927-1937, p. 202, fig. 693.

Synedra acus var. *angustissima* Hustedt 1930, p. 155, fig. 172.

Synedra acus, f. *mesoleia* Cleve-Euler 1952-1955, parte 2, p. 64, figs. 385 g-i.

Valvas muito compridas e estreitas, com forma de lança, apresentando no centro um espaço hialino alongado. A parte mediana é mais larga, estreitando-se rápida e uniformemente até às extremidades. A variedade *angustissima* é mais longa que a forma *typica* e tem extremidades excessivamente estreitas e ligeiramente capitadas. Comprimento: 130 a 160 μ . Largura: no centro 3 μ , nas extremidades 1 μ . De 15 a 16 estrias em 10 μ .

DISTRIBUIÇÃO GEOGRÁFICA — É uma forma planctônica típica e se encontra amiúde no plâncton do Mediterrâneo e em águas doces.

OCORRÊNCIA — Nas proximidades de Vamiranga e do rio Ba-guassú.

Gên. *TRICERATIUM* Ehr.

Triceratium uncinatum A. S.

(Est. II, Fig. 2)

Triceratium uncinatum De Toni 1891-1894, p. 926.

Triceratium uncinatum Schmidt 1874-1944, est. 94, fig. 4.

Valvas com forma triangular e paredes laterais côncavas, com três apêndices terminais cujas extremidades são finamente pontuadas. Os apêndices estão separados por nervuras da parte mediana. Nesta, próximo a cada bordo, há um espinho. Aréolas irregulares, em número de 4 por 10 μ . No centro são menores, de 5 a 6 em 10 μ . Medida: 134 μ .

DISTRIBUIÇÃO GEOGRÁFICA — América Central.

OCORRÊNCIA — Junto a Vamiranga e Ilha do Pai Matos.

Gên. *TROPIDONEIS* Cleve

Tropidoneis seriata Cleve

(Est. II, Fig. 2)

Tropidoneis seriata Tempère 1890-1893, p. 75, est. 12, figs. 2-4.

Tropidoneis seriata Hustedt 1955, p. 37, est. 12, fig. 1.

Valvas convexas, biarqueadas e assimétricas. Estrias transversais interrompidas por muitas faixas lisas e longitudinais. Há 12 estrias em 10 μ . Comprimento: 126 μ . Largura: 30 μ .

DISTRIBUIÇÃO GEOGRÁFICA — Em águas marinhas e salobras. Costa atlântica das Américas.

OCORRÊNCIA — Baía do Trapandé.

C O N C L U S Õ E S

1 — Como na maior parte das áreas estudadas (regiões lagunares e manguesais) ocorrem grandes flutuações de salinidade, esta se torna o principal fator ecológico que determina a composição específica e a distribuição do fitoplâncton naqueles locais.

2 — As espécies que compõem a flora local, ou são de natureza cosmopolita na sua grande maioria, ou são formas tropicais, sendo assinalada apenas uma forma visitante (*Chaetoceros tortissimus* Gran) de águas frias, sem que encontrássemos explicação para esta ocorrência, baseados nos dados físicos (temperatura e salinidade) ao nosso alcance.

3 — Doze espécies foram pela primeira vez assinaladas em águas da costa do Brasil: *Eunotia major* (W. Sm.) Rabh., *Eunotia praerupta* var. *bidens* Grun., *Eunotia sudetica* O. Müller, *Nitzschia angularis* W. Sm., *Nitzschia fluminensis* Grun., *Nitzschia macilenta* Greg., *Nitzschia sigma* (Kütz.) W. Sm. var. *intercedens* Grun., *Surirella guatimalensis* Ehr., *Surirella kittoni* A. S., *Synedra acus* Kütz. var. *angustissima* Grun., *Triceratium uncinatum* A. S., *Tropidoneis seriata* Cleve.

S U M M A R Y

A list of diatoms found in the region of Cananéia is given in this paper. A description is given of the diatoms recorded for the first time in Brazilian waters (*Eunotia major* (W. Sm.) Rabh., *Eunotia praerupta* var. *bidens* Grun., *Eunotia sudetica* O. Muller, *Nitzschia angularis* W. Sm., *Nitzschia fluminensis* Grun., *Nitzschia macilenta* Greg., *Nitzschia sigma* (Kütz.) W. Sm. var. *intercedens* Grun., *Surirella guatimalensis* Ehr., *Surirella kittoni* A. S., *Synedra acus* Kütz. var. *angustissima* Grun., *Triceratium uncinatum* A. S., *Tropidoneis seriata* Cleve) as well of those of some interest due to their geographic distribution.

The species studied are cosmopolitan and tropical and only one is a characteristic species of cold water (*Chaetoceros tortissimus* Gran.), the presence of which could not be explained based on the physical data obtained (temperature and salinity).

The basic factor that influences the nature and horizontal distribution of the phytoplankton was found to be salinity.

B I B L I O G R A F I A

ALLEN, W. E. & CUPP, E. E.

1935. Plankton diatoms of the Java Sea. Extrato de Ann. Jardim. Bot. Buitenzorg, vol. 44, 2.^o parte, p. 101-107, fig. 1-127.

ANDRADE, M. H. & TEIXEIRA, C.

1957. Contribuição para o conhecimento das diatomáceas do Brasil. Bol. Inst. Ocean., vol 8, fasc. 1/2, p. 171-195, est. 1-10.

CLEVER-EULER, A.

- 1952-1955. Die Diatomeen von Schweden und Finnland. Kungl. Svenska Vetenskaps. Handl. Fjärde Serien. 5 vols.

CUPP, E. C.

1943. Marine plankton diatoms of the West Coast of North America. Bull. Scripps Inst. Ocean., vol. 5. n.^o 1, p. 1-238.

DE TONI, J. B.

- 1891-1894. Sylloge Algarum omnium hucusque cognitarum. Bacillarieae, 2 vols. p. 1-1556. Padova.

FRENGUELLI, J.

- 1923-1924. Diatomeas de Tierra del Fuego. Anal. Soc. Argentina, vol. 96, p. 225-263; vol. 97, p. 87-118 e p. 231-266; vol. 98, p. 5-63.

GARCIA OCCHIPINTI, A.

1960. Dados climatológicos de Cananéia. Bol. Climat., n.^o 1, 5p. Inst. Ocean. da Univ. São Paulo.

GRAN, H. H.

1900. Bemerkungen über einige plankton Diatomeen. Nyt. Mag., vol. 38, p. 103-126.

HENDEY, N. I.

1937. The plankton diatoms of the Southern Seas. Discovery Rep., vol. 16, p. 151-364, est. 6-13.

HUSTEDT, F.

1930. Bacillariophyta. Diatomeae. In Pascher, Die Süsswasser-Flora Mitteleuropas, vol. 10, p. 1-466.

1927-1937. Die Kieselalgen Deutschlands, Österreichs und der Schweiz, etc. Rabenhorts Kryptogamen-Flora, vol. 7, parte 2, fasc. 1-5.

1955. Marine littoral diatoms of Beaufort, North Carolina. Duke Univ. Mar. St. Bull n.^o 6, p. 5-67, est. 1-16.

MÜLLER-MELCHERS, F. C.

1945. Diatomeas procedentes de algunas muestras de turba del Uruguay. Com. Bot. Mus. Hist. Nat. Montevideo., vol 1, n.^o 17, p. 1-21, est. 1-2.

PERAGALLO, H. & PERAGALLO, M.

1897-1908. Diatomées marines de France et des districts maritimes voisins.
Atlas: est. 1-127.

SCHMIDT, A.

1874-1944. Atlas der Diatomaceenkunde. 8 vols., est. 1-146 & 433-460.
Leipzig.

SILVA, E. S.

1956. Contribuição para o estudo do microplâncton marinho de Mo-
çambique. Ministérios do Ultramar. Estudos, ensaios e do-
cumentos, n.º 28, p. 1-97, est. 1-14.

SMAYDA, T. J.

1958. Biogeographical studies of marine phytoplankton. Woods Hole
Ocean. Inst., Contr. n.º 965, p. 158-191.

TEMPÈRE, J. e outros.

1890-1893. Le Diatomiste, vol. 1, p. 1-180, est. 1-24; vol. 2, p. 1-260, est.
1-24.

VAN HEURCK, H.

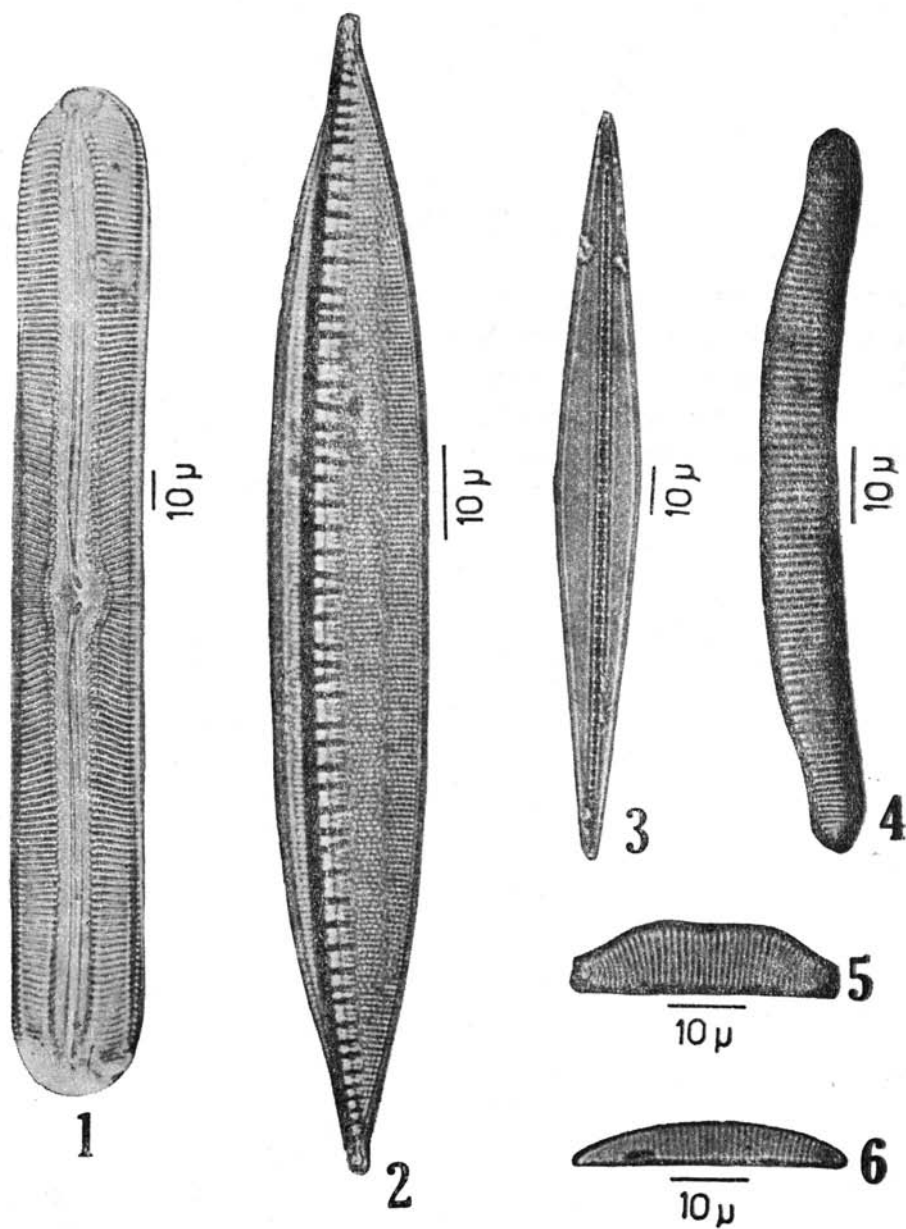
1880-1885. Synopsis des diatomées de Belgique, 2 vols. Texto: p. 1-120.
Atlas: est. 1-131. Anvers.

ZIMMERMAN, C.

1916. Contribuição para o estudo das diatomáceas dos Estados Uni-
dos do Brasil. 4.ª Contribuição. Broteria, ser. Botânica, vol.
14, p. 85-103.

ESTAMPA I

- Fig. 1 — *Pinnularia latevittata* Cleve.
Fig. 2 — *Nitzschia fluminensis* Grun.
Fig. 3 — *Nitzschia angularis* W. Sm.
Fig. 4 — *Eunotia major* (W. Sm.) Rabenh.
Fig. 5 — *Eunotia praerupta* var. *bidens* Grun.
Fig. 6 — *Eunotia sudetica* O. Müller.



ESTAMPA II

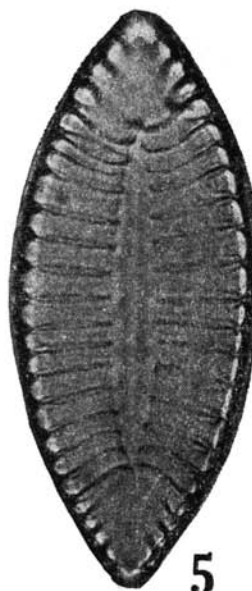
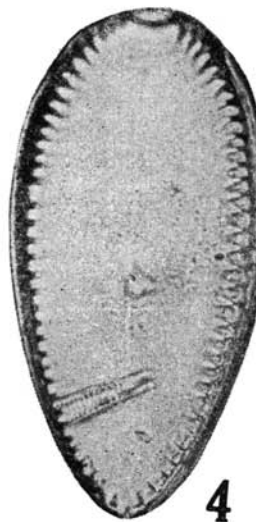
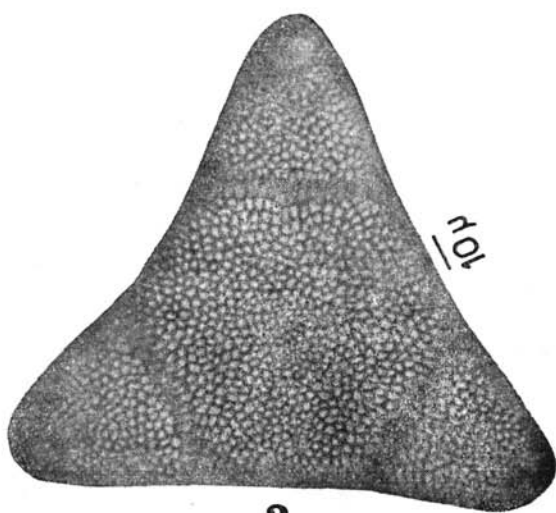
Fig. 1 — *Tropidoneis seriata* Cleve.

Fig. 2 — *Triceratium uncinatum* A. S.

Fig. 3 — *Tropidoneis seriata* Cleve.

Fig. 4 — *Surirella guatimalensis* Ehr.

Fig. 5 — *Surirella kittoni* A. S.

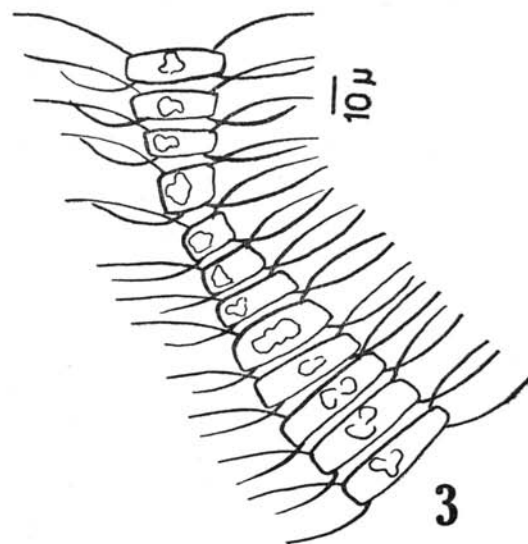
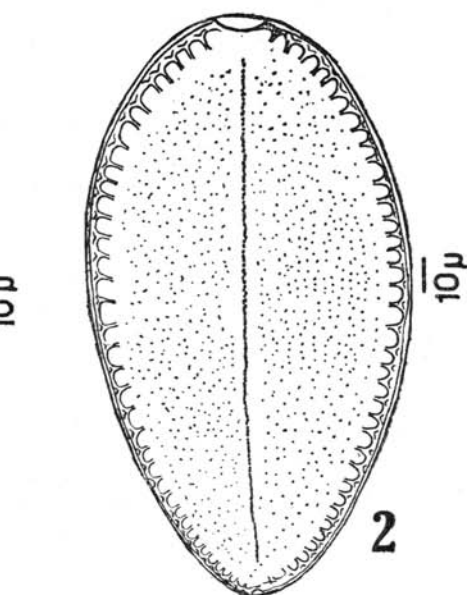
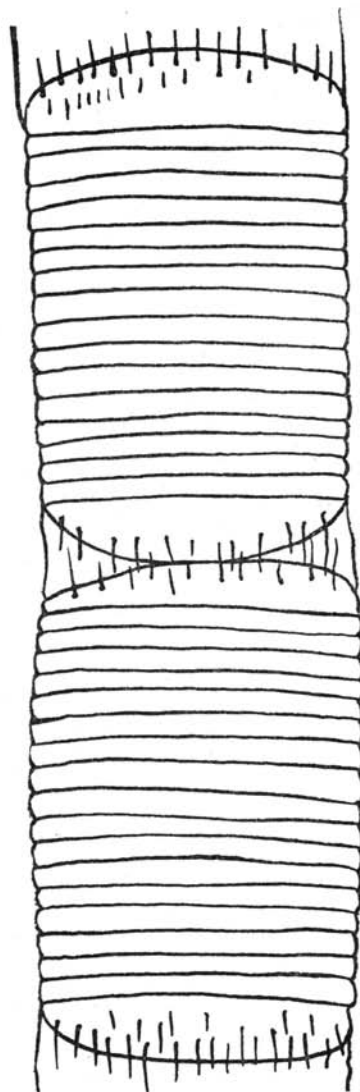


ESTAMPA III

Fig. 1 — *Lauderia borealis* Gran.

Fig. 2 — *Surirella guatimalensis* Ehr.

Fig. 3 — *Chaetoceros tortissimus* Gran.



ESTAMPA IV

- Fig. 1 — *Nitzschia macilenta* Greg.
Fig. 2 — *Nitzschia longissima* (Bréb.) Ralfs.
Fig. 3-4 — *Nitzschia sigma* (Kütz) W. Sm. var. *intercedens* Grun.
Fig. 5 — *Leptocylindrus danicus* Cleve.
Fig. 6 — *Schroderella delicatula* Hustedt.
Fig. 7 — Idem. Com esporos.
Fig. 8 — *Synedra acus* Kütz, var *angustissima* Grun.

